

شبیه سازی عددی پروسه های انتقال در قلب راکتورهای هسته ای

دکتر ابراهیم شیرانی - مهندس اصغر اسماعیلی

دانشکده مکانیک دانشگاه صنعتی اصفهان

چکیده:

هدف از این مقاله ارائه روش و تدوین یک برنامه کامپیوتوئی است که پروسه های انتقال در قلب یک راکتور هسته ای که با سوخت میله ای کار می کند را شبیه سازی نماید. پروسه های انتقال مورد نظر انتقال جرم، ممتنم و انرژی است. در اثر شکافت عناصر موجود در میله های سوخت، حرارت زیادی تولید می شود. مایع خنک کننده میله های سوخت در طی حرکت در امتداد میله های سوخت، به علت انتقال حرارت، بطور موضعی به بخار تبدیل می شود. پیجیدگی جریان مغذی دوفازی سیال در قلب راکتور سبب می شود که تحلیل مسئله در حالت کلی غیر ممکن شود. از طرفی از نقطه نظر طراحی، اطلاعات صحیح از خصوصیات جریان و پارامترهای مختلف ترمودینامیکی در طول مسیر جریان از اهمیت خاصی برخوردار است.

در این مقاله، ابتدا یک مدل ریاضی از هندسه مسئله (کانال) معرفی می شود. سپس معادلات حاکم بر جریان، شامل معادلات بنای جرم، بنای ممتنم و بنای انرژی را نوشتند و با توجه به فرضیات و مدلها بیم انتخاب می نماییم معادلات را به طریق عددی حل می کنیم. فرضیات عمده عبارت از دامن بودن جریان، یکنواخت و همگن بودن سیال در هر یک از مقطع هر کانال محاسباتی، مدلها بر کار رفته شامل مدل برای ضربی اصطکاک، ضربی انتقال حرارت و هد اصطکاکی در جریان دوفازی مغذی و مدل همگن بودن جریان در هر مقطع هر کانال است. اکثر مدلها براساس ایده های معرفی شده در مراجع ۱ و ۲ است. روش محاسبات عددی مورد استفاده، روش توسعه یافته اویلر و روش قدم به قدم است. بر مبنای معادلات جریان، فرضیات و مدلها معرفی شده و روش عددی مذکور، برنامه ای کامپیوتوئی تدوین گردیده است. اطلاعات ورودی به برنامه شامل هندسه قلب راکتور، توزیع فلاکس حرارت تولید شده در طول و مقطع میله ها، خواص ترمودینامیکی و انتقال آب اشباع، دمای آب ورودی، انتالپی متوسط ورودی و فشار خروجی است. اطلاعات خروجی شامل تغییرات فشار، انتالپی، کیفیت مخلوط بخار و آب، سرعت جرمی، دمای جرمی، دمای جریانهای عرضی انحرافی و فلوی حرارتی به هر کانال است. برنامه هد کامپیوتوئی تدوین شده طوری است که می تواند جریان تک فازی و نیز جریان دوفازی را بررسی نماید. همچنین این برنامه انتقال حرارت و ممتنم بین کانالها را که از طریق جریانهای عرضی انحرافی و جریانهای عرضی در اثر اغتشاشات صورت می پذیرد را در محاسبات منظور می نماید. برای یک مثال ساده برنامه کامپیوتوئی اعمال گردیده است و نتایج مورد قبولی ارائه شده است.

Numerical Simulation of the Transfer Processes in the Nuclear Reactor Core.

Ebrahim Shirani, Ph.D. Asghar Esmaili, M.Sc.

Department of Mechanical Engineering
Esfahan University of Technology

ABSTRACT

The purpose of this paper is to present a technic to write a computer program in order to simulate the transfer processes in the nuclear reactor cores, which work with fuel rods. The transfer processes considered herein are namely mass, momentum, and energy transfers. Fission in the fuel rod elements produces a large amount of heat. Due to the heat transfer, the fluid for cooling the fuel rods evaporates locally, by moving along the fuel rods.

Complexity of the turbulent flow of the two phase fluid in the reactor core makes

the analysis of the problem impossible. On the other hand, from the design point of view, correct information of the flow characteristics and its different thermodynamic parameters along the flow are of great importance.

In this paper, first a mathematical model for the geometry of the problem (canal) is introduced. Then the fluid equations consisting of the continuity equations for mass, momentum, and energy is written and attempt has been made to solve these equations numerically by taking into account the assumptions and models which have been chosen. The important assumptions are, continuous flow, steadiness and homogeneity of the fluid at each cross section of the computational canal. The models which are used here consist of, a model for coefficient of friction, a model for coefficient of heat transfer, a model for frictional head in the turbulent flow of the two phase fluid, and a model for the homogeneity of the flow in each canal. Most of these models are based on ideas introduced in the 1 and 2 references. The numerical analysis methods are the advanced Euler method and the step by step method. A computer program has been devised on the basis of the flow equations, the given assumptions and models, and the above numerical method. The input data for this program consists of the geometry of the reactor core, the distribution of the heat flux generated along and at the cross section of the rods, the thermodynamic property and the transfer of the saturated water, the temperature of the incoming water, the average incoming enthalpy, and the outgoing pressure. The outgoing input consists of the pressure change, enthalpy, the quality of the mixture of vapor and water, mass velocity, mass diameter, mass diameter of the deviated transverse flow, and the heat flux into each canal. The head computer program is so devised that it can analyze both the single phase and the double phase flow.

This program also takes into account the transfer of heat and momentum between the canals which take place by the deviated transverse flow and the transverse flow caused by turbulence.

This computer program has been used for a simple example and acceptable results have been obtained.

علامه اختصاری^۱

دیمانسیون

نام علامت توضیح

L^2	سطح مقطع	A
FT/LM	ضریب افت در معادله مومنتم عرضی	C
H/M	گرمای ویژه در فشار ثابت	C_p
L	قطر هیدرولیکی	D_h
L	قطر میله	D_r
MI/T ²	نیرو	F

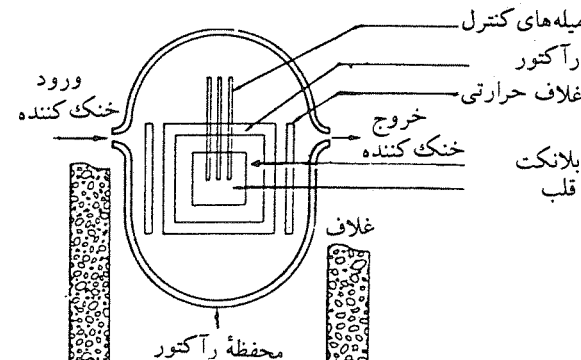
۱ - ابعاد بکار رفته به شرح زیر است:
 $F = \text{نیرو}$ ، $\theta = \text{درجه حرارت}$ ، $M = \text{جرم}$ ، $T = \text{زمان}$ ، $H = \text{انرژی}$

بدون بعد	تعداد ارتباطات بین کانالهای مجاور	K
L	طول کanal	L
بدون بعد	تعداد کانالهای جریان	N
بدون بعد	عدد رینولدز	Re
بدون بعد	$\frac{m_g}{m_g + m_f}$ کیفیت ،	X
بدون بعد	ضریب اصطکاک براساس اینکه همه دبی جریان مایع است	f
بدون بعد	نسبت توزیع قدرت حرارتی موضعی به توزیع قدرت حرارتی متوسط محوری	f_A
بدون بعد	کسری از قدرت حرارتی میله که به یک کانال مجاور آن منتقل می شود	f_C
L	پارامتر مقاومت جریان عرضی انحرافی	f_I
بدون بعد	توزیع قدرت حرارتی نسبی میله	f_R
بدون بعد	ضریب تصحیح جریان عرضی توربولات	f_T
بدون بعد	ضریب تصحیح جریان عرضی انحرافی	f_D
ML/FT ²	ثابت جاذبه	g_c
H/M	$xh_g + (1-x) h_f$ انталپی ؛	h
H/M	انталپی مایع و بخار اشباع	h_g, h_f
L	طول	l
M/T	دبی جرمی ، $Au_f [\rho_g \alpha y + \rho_f(1-\alpha)]$	m
F/L ²	شار	p
H/L	حرارت واردہ بر واحد طول	q'
H/TL ²	فلاکس حرارتی متوسط	\bar{q}''
L	فاصله میله ها	s
L/T	سرعت موثر محوری سیال در کانال ، mv'/A	u
L^3/M	حجم مخصوص ، l/p	v
L^3/M	حجم مخصوص موثر ، $\frac{(1-x)^2}{p_f(1-\alpha)} + \frac{x^2}{\rho_g \alpha}$	v'
M/TL	جریان عرضی انحرافی بین کانالهای مجاور	W
M/TL	جریان عرضی اغشاشات (نوسانی) بین کانالهای مجاور	W'
L	متغیر طول	z
بدون بعد	نسبت حجمی گاز $\frac{A_g}{A_g + A_f}$; (Void Fraction)	α
بدون بعد	پارامتر مربوط به اختلاط جریان عرضی نوسانی	β
بدون بعد	ضریب لغزش u_g/u_f	γ
رادیان	موقعیت کانال نسبت به خط قائم	θ
M/L^3	دانسیته ، $P_g \alpha + (1 - \alpha) \rho_f$	ρ
بدون بعد	ضریب اصطکاک جریان دوفازی (Two phase friction Multiplier)	ϕ
	(Subscripts)	
	شرایط اشباع مایع و بخار	g,f
	عدد مشخص کننده کانال	i,j
	مشخص کننده جریان از کانال آ به زو از کانال ز به آ است.	j,i
	شماره هایی که مشخص کننده ارتباط کانالهاست. هر k یا l متاظر با یک جفت زو یا zi است.	l,k
	عدد مشخص کننده میله سوت	r
	به مفهوم شرایط از میله ۲ به کانال آ است.	r_i

تقسیم هسته بزرگ به هسته‌های کوچک با آزادسازی تعدادی نوترون نیز همراه است که خود سبب تداوم این تحولات خواهد شد. مثلاً اورانیوم ۲۳۵ در اثر دریافت یک نوترون تبدیل به گزونون (X_e^{140}), استرانسیوم (Sr⁹⁴) و آزادی دو نوترون می‌شود.

حرارت آزاد شده در قلب راکتور را به راههای مختلف به انرژی الکتریکی تبدیل می‌کنند. برخی از این روشها عبارتند از استفاده از وسایل جمع کننده مستقیم یا باطری هسته‌ای، به وسیله ترمولکتریسیته یا ترموبوئنیک و یا به وسیله تبخیر سیال و استفاده از یک توربین بخار و ژنراتور. نوع آخر که معمول ترین روش استفاده از انرژی آزاد شده است در اینجا مد نظر است.

حرارت آزاد شده در قلب راکتور می‌تواند بیش از ۳ میلیون وات و دبی سیال خنک کننده بیش از ۱۰۰ گاللون بر دقیقه باشد. شکل (۱)، شکل شماتیک یک راکتور هسته‌ای را نشان می‌دهد. سیال خنک کننده می‌تواند آب، آب سنگین و یا گازهای با ظرفیت حرارتی بالا مثل هلیوم باشد. در شکل مذکور میله‌های کنترل و بلانکت نشان داده شده است. نقش میله‌های کنترل جذب نوترون است. میله‌های کنترل قابل تنظیم بوده و در موقع لزووم وارد قلب راکتور شده و نوترون‌های موجود در فضا را به خود جذب می‌نماید. این عمل سبب کاهش انرژی حرارتی تولیدی یا قطع آن می‌گردد. بلانکت‌ها از فرار نوترونها از قلب راکتور جلوگیری کرده و نقش منعکس کننده را دارد. شکل (۲) ساختمان قلب یک راکتور که استوانه‌ای شکل است را نشان می‌دهد. در این شکل نحوه قرار گرفتن میله‌های سوخت و محل میله‌های کنترل نمایش داده شده است. سیال خنک کننده از لابالی میله‌ها عبور می‌کند.



شکل ۱ - اجزاء اصلی یک راکتور هسته‌ای به همراه غلاف حرارتی

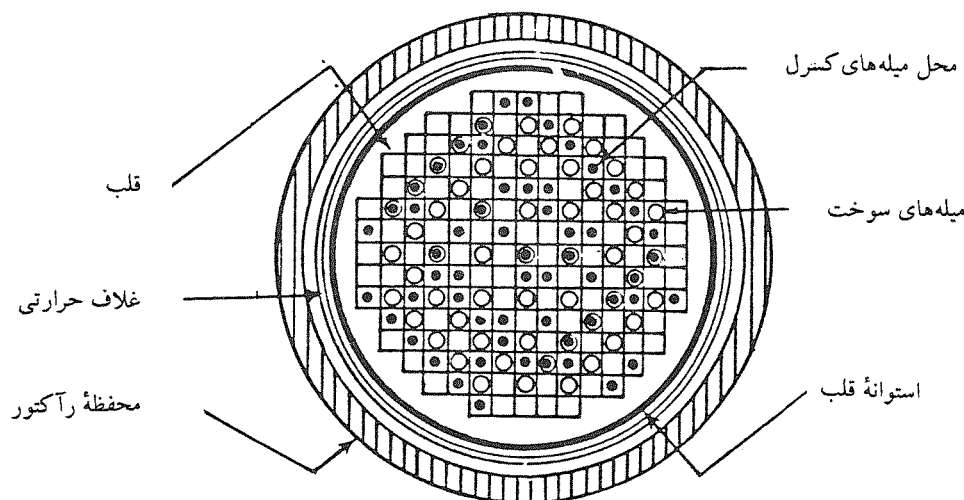
شکل (۳) شبکه‌های نگهدارنده و هدایت کننده سیال در قلب راکتور را نمایش می‌دهد. سیال خنک کننده باید دارای

استفاده از انرژی هسته‌ای به علت قابلیت بالای آزادسازی انرژی در واکنش هسته‌ای و نیز محدود بودن متابع سوخت از اهمیت زیادی برخوردار است. انرژی حاصل از شکافت یک پوند اورانیم معادل سوختن ۱۲۵۰ تن ذغال سنگ است. نوع متداول راکتورهای هسته‌ای که در اینجا نیز مورد نظر است راکتور با سوخت میله‌ای است. میله‌های باریک و بلند سوخت در محفظه‌ای به نام قلب راکتور قرار دارند و در اثر شکافت، انرژی زیادی از خود آزاد می‌کنند. این انرژی به وسیله جریان سیال خنک کننده که در تماس با میله‌های سوخت است دریافت و منتقل می‌شود. در طی حرکت سیال در امتداد میله‌های سوخت جوشش موضعی سیال صورت می‌گیرد. از طرفی برای افزایش انتقال حرارت در طول راکتور، حرکت سیال در طول قلب راکتور صرفاً در امتداد میله‌های سوخت نبوده بلکه با قرار دادن زائدۀ هایی بر سر راه جریان سیال حرکتهای جانبی مصنوعی به سیال وارد می‌شود. این نوع حرکت سبب افزایش نرخ انتقال حرارت و کاهش دمای میله سوخت می‌گردد.

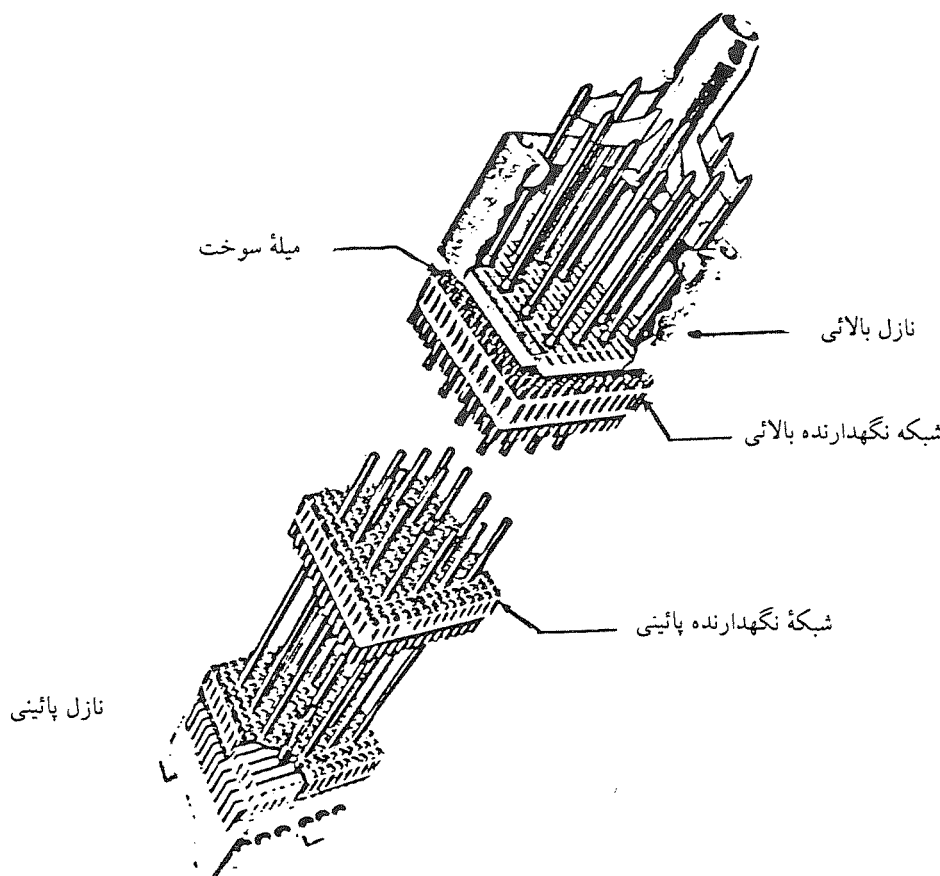
با توجه به حرکت جریان مغشوش در مسیرهای پیچیده بین میله‌ها و دوفازی بودن جریان، بررسی و تجزیه و تحلیل چنین جریانی بسیار پیچیده است. از طرفی از نقطه نظر طراحی و کنترل، نیاز مبرم به در دست داشتن اطلاعات صحیح از خصوصیات جریان و پارامترهای مختلف ترمودرولیکی در طول مسیر جریان است. حل این مسئله معمولاً از دو طریق تحلیلی و تجربی صورت می‌گیرد، که در اینجا روش تحلیلی با استفاده از حل عددی معادلات مدل شده جریان در نظر است. برای حل مسئله از این روش، معادلات ساده شده حاکم بر جریان سیال، شامل معادلات بقای جرم، محتمم و انرژی حل می‌گردد. پژوهه حاضر بر مبنای ایده‌های موجود در کدهای کامپیوتری کبری (۱۹۲۰) تدوین شده است. البته استفاده مستقیم از کدهای موجود به علت کمبود اطلاعات امکان پذیر نبوده و لذا کار حاضر بر مبنای اطلاعات موجود و تئوری حاکم بر کدها بوده ولی برنامه کامپیوتری و جزئیات روش محاسبات متفاوت است. کد توسعه یافته در این مقاله برخی از محدودیتهای موجود در کدهای کبری را ندارد و کلی تر از این دو کد می‌باشد.

راکتورهای هسته‌ای

اساس راکتورهای هسته‌ای بر مبنای برخورد نوترون به هسته‌های عناصر سنگین نظیر اورانیم ۲۳۵ یا پلوتونیم ۲۳۹ است که سبب تشکیل هسته جدیدی می‌شود. پس از دریافت نوترون، هسته حاصل در حالت تحریک شده بالایی قرار گرفته و بسیار ناپایدار می‌شود. لذا این هسته به هسته‌های کوچکتری تقسیم می‌گردد. در اثر این تقسیم انرژی زیادی آزاد می‌شود.



شکل ۲ - سطح مقطع افقی راکتور

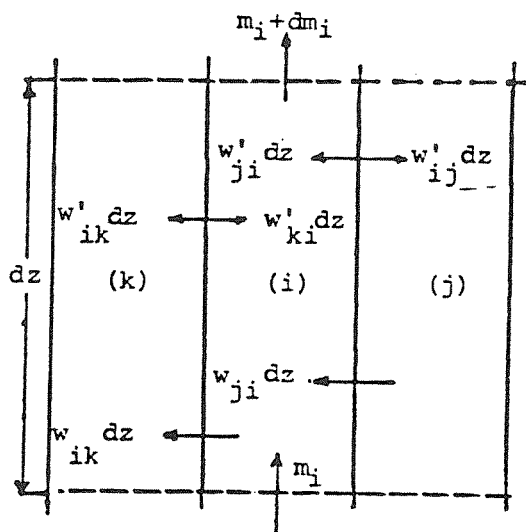


شکل ۳ - شبکه های مورد استفاده در یک مجموعه سوخت

دبی در اثر حرکت جانبی بین کانالها با W (برای جریانهای عرضی انحرافی) و W' (برای جریان عرضی در اثر اغتشاشات جریان) می‌باشد. اختلاط سیال بین کانالها تاثیر مهمی در انتقال ممتد و انرژی دارد. انتخاب کانالهای جریان به صورتی که در بالا شریع شد برای تحلیل جریان ذر یک مجموعه میله‌های انتخاب مناسبی است. زیرا نحوه قرار گرفتن میله‌ها طوری است که عموماً باعث تشکیل کانالهای تقریباً مجزایی می‌گردد. البته بین این کانالها انتقال جرم، ممتد و انرژی صورت می‌گیرد. در تحلیل مسئله اهم فرایندات جریان دوفازی سیال، دائم و لغزشی بودن جریان در هر کانال و یکنواخت بودن آن در هر مقطع از هر کانال است.

معادلات حاکم

در شکل (۵) مقطعی از کانال (i) به طول dz همراه با دو کانال مجاور آن (j), (k) نشان داده شده است. معادله پیوستگی برای کانال (i) به شرح زیر است.



شکل ۵ - تبادل جرم کانال‌های مجاور

$$m_i + W_{ji}dz + W'_{ji}dz + W'_{ik}dz = m_i \\ + dm_i + w_{ik}dz + w'_{ik}dz + w'_{ij}dz \quad (1)$$

با توجه به کوچک بودن اشل زمانی اغتشاشات جریان، می‌توان فرض کرد که جریان عرضی در اثر اغتشاشات تاثیری در دبی عبوری جریان ندارد به عبارت دیگر

$$W'_{ji} = W'_{ij} \quad (2)$$

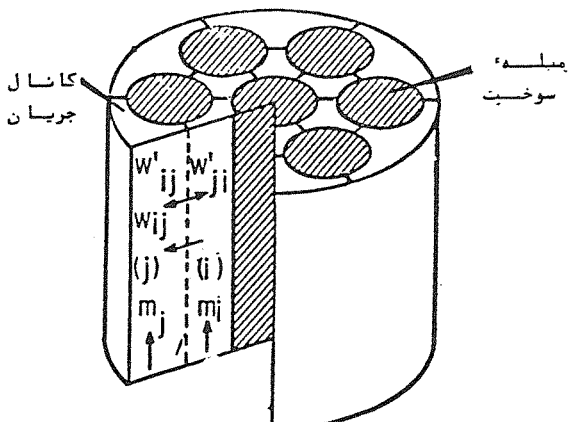
$$W'_{ik} = W'_{ki}$$

W'_{ij} مقدار متوسط زمانی دبی بر واحد طول جریان از کانال j به

خصوصیات زیر باشد: ضریب انتقال حرارت هدایتی بالا، ظرفیت حجمی زیاد، خاصیت کند کردن نوترونها برای افزایش احتمال برخورد آنها به هسته‌های سوخت، پایین بودن فشار بخار اشباع سیال در دمای قلب راکتور، دارا بودن حداقل خورندگی و تمایل به واکنش شیمیایی با محیط اطراف، پایداری و مقاومت در تجزیه شدن در دمای کار راکتور.

تجزیه و تحلیل تئوری

هدف، تحلیل جریان در قلب راکتور و بدست آوردن خواص ترمودینامیکی جریان است. با توجه به نحوه آرایش میله‌های سوخت (شکل ۳) و این واقعیت که مقدار انتقال حرارت به سیال در تمام نقاط سطح مقطع عبور جانی سیال در یکنواخت نبوده و این امر سبب ایجاد حرکت جانی سیال در طول مسیر حرکت می‌شود، پیچیدگی جریان در طول میله‌های سوخت اجتناب نپذیر است. شکل (۴) مسیر حرکت سیال را در کانالهای بین میله‌های سوخت نمایش می‌دهد. حرکت کلی سیال از پایین به بالاست و حرکتهای جنبی سیال به صورت فلشهای افقی نمایش داده شده است. این حرکات در اثر مغناطیس بودن جریان (W') و نیز جذب غیر یکنواخت انتقال حرارت و افت فشار غیر یکسان (W) در مسیرهای مختلف ایجاد می‌شود. همچنین حرکتهای جنبی سیال (W) می‌تواند در اثر وجود وسایل مکانیکی از قبیل مخلوط کننده‌های مارپیچی که بر سر راه جریان قرار دارد صورت پذیرد.



شکل ۴ - متد مشخص نمودن کانال‌های جریان

میدان جریان را می‌توان به ناحیه‌های مختلفی تقسیم کرد. این ناحیه‌ها را که توسط میله‌های سوخت محصور شده‌اند کانال جریان می‌گوییم. در شکل مذکور دو کانال آو زنمایش داده شده است. دبی عبوری از کانال i , m_i و از کانال j , m_j است. همچنین

در اثر اغتشاشات جریان است. از طرفی $w_{ji} = -w_{ij}$. لذا:

$$\frac{dm_i}{dz} = w_{ji} - w_{ik} \rightarrow \frac{dm_i}{dz} = -(w_{ij} + w_{ik}) \quad (3)$$

و یا در صورتی که کanal N کanal مجاور باشد، داریم:

$$\frac{dm_i}{dz} = -\sum_{j=1}^N w_{ij}, \quad i = 1, 2, \dots, N \quad (4)$$

که در آن M تعداد کل کanalها در میدان جریان است.

به روش مشابهی می‌توان معادله انرژی را برای کanal iام که مجاور دو کanal j, k است به صورت زیر نوشت:

$$m_i h_i + w_{ji} h_j dz + w'_{ji} h_j dz + w'_{ik} h_k dz + q'_i dz = \\ m_i h_i + w_{ik} h_k dz + w'_{ik} h_k dz + w'_{ij} h_i dz + m_i h_i + d(m_i h_i) \quad (5)$$

از طرفی داریم:

$$d(m_i h_i) = dm_i h_i + m_i dh_i = h_i (w_{ji} - w_{ik}) dz + m_i dh_i \quad (6)$$

با استفاده از روابط (۲)، (۳)، (۴) و (۶) داریم:

$$\frac{dh_i}{dz} = \frac{q'_i}{m_i} + \frac{w_{ii}}{m_i} (h_j - h_i) \\ + \frac{w'_{ij}}{m_i} (h_j - h_i) + \frac{w'_{ik}}{m_i} (h_k - h_i) \quad (7)$$

در صورتی که N در کanal در مجاورت کanal iام قرار داشته باشد معادله انرژی به صورت زیر در می‌آید.

$$m_i \frac{dh_i}{dz} = q'_i + \sum_{j=1}^N w'_{ij} (h_j - h_i) - \sum_{j=1}^N w_{ij} h^* \quad (8)$$

که در آن

$$h^* = \begin{cases} 0 & ; \text{if } w_{ij} > 0 \\ (h_j - h_i) & ; \text{if } w_{ij} < 0 \end{cases} \quad (9)$$

در روابط فوق q' مقدار نرخ انتقال حرارت بر واحد طول کanal است.

حال معادله ممتنم در امتداد محور میله‌های سوخت را بدست می‌آوریم. با توجه به دو فازی بودن جریان براساس ایده مایر، ابتدا یک حجم مخصوص موثر (V) تعریف می‌کنیم.

$$\frac{1}{\rho_{eff}} = v' = \frac{(1-x)^2 v_f}{(1-\alpha)} + \frac{x^2 v_g}{\alpha}; \quad (L^3/M) \quad (10)$$

که در آن x کیفیت و α نسبت حجمی گازهاست. معادله ممتنم به شرح زیر است:

$$g_c (A_i P_i - F_i dz - A_i P_i - A_i dp_i - A_i \rho_i \cos \theta dz)$$

$$= \left[f_D w_{ik} u_i dz + f_T w'_{ik} u_i dz + f_T w'_{ij} u_i dz + m_i u_i \right]$$

$$+ d(m_i u_i) \Big] - \left[m_i u_i + f_D w_{ji} u_j dz + f_T w'_{ki} u_k dz \right. \\ \left. + f_T w'_{ji} u_j dz \right]$$

در این رابطه θ زاویه محور کanal با خط قائم است. f_D , f_T ضرایب تصحیح غیر یکنواختی سرعت به علت جریانهای جانبی و اغتشاشات جریان است. پس از ساده کردن و استفاده از رابطه بقای جرم داریم:

$$-\frac{dp_i}{dz} = \frac{F_i}{A_i} + \rho_i \cos \theta + \frac{f_T w'_{ii}}{g_c A_i} (u_i - u_j) \\ + \frac{f_T w'_{ik}}{g_c A_i} (u_i - u_k) + \frac{w_{ji}}{A_i g_c} (u_i - f_D u_j) \frac{w_{ik} u_i}{g_c A_i} + (f_D - 1) \\ + \frac{m_i}{A_i g_c} \frac{du_i}{dz}$$

از طرفی داریم

$$u_i = \frac{m_i v'_i}{A_i} \rightarrow \frac{du_i}{dz} = \frac{d}{dz} (m_i v'_i / A_i) \quad (13 - \text{الف})$$

$$\frac{du_i}{dz} = \frac{v'_i}{A_i} \frac{dm_i}{dz} + \frac{m_i}{A_i} \frac{dv'_i}{dz}; \quad A_i = \text{cont} \\ = -\frac{v'_i}{A_i} (w_{ij} + w_{ik}) + \frac{m_i}{A_i} \frac{dv'_i}{dz} \quad (13 - \text{ب})$$

همچنین نیروی اصطکاک بین سیال و دیواره در جریان دو فازی از رابطه

$$F_i / A_i = \frac{f_i \phi_i}{2 g_c \rho_f D_{hi}} (m_i / A_i)^2 \quad (14)$$

بدست می‌آید که ϕ نسبت افت فشار در اثر اصطکاک در جریان دو فازی به افت فشار در جریان مایع تک فازی با همان دبی است و بالاخره داریم:

$$\frac{dv'_i}{dz} = \frac{\partial v'_i}{\partial h} \frac{dh}{dz} + \frac{\partial v'_i}{\partial p} \frac{dp}{dz} \quad (15)$$

روابط فوق را در معادله ممتنم قرار می‌دهیم.

$$-\frac{dp_i}{dz} = \frac{f_i \phi_i}{2 g_c \rho_f D_{hi}} (m_i / A_i)^2 + \rho_i \cos \theta \\ + \frac{f_T w'_{ii}}{g_c A_i} (u_i - u_j) + \frac{f_T w'_{ik}}{g_c A_i} (u_i - u_k) \\ + \frac{w_{ji}}{A_i g_c} (2 u_i - f_D u_j) + \frac{w_{ik} u_i}{g_c A_i} (f_D - 2)$$

اغتشاشات را بررسی می‌کیم. دبی جریانهای عرضی در اثر اغتشاشات در حالت کلی مضربی از دبی جریان محوری است.

$$w'_{ij} = \frac{1}{2} \beta s_{ij} (m_i/A_i + m_j/A_j) \quad (21)$$

که در آن β ضریب تناسب است و تابعی از عدد رینولدز جریان است.

$$\beta = \frac{4}{S_{ij}} \frac{A_i + A_j}{P_{wi} + P_{wj}} a R_e^b \quad (22)$$

در رابطه اخیر b , a مقادیر ثابت هستند و R_e عدد رینولدز بوده و از رابطه زیر بدست می‌آید.

$$R_e = \frac{8(m_i + m_j)}{(pw_i + pw_j)(\mu_i + \mu_j)} \quad (23)$$

ضریب اصطکاک جریان دوفازی بر حسب ضریب اصطکاک در جریانهای تک فازی مایع در رابطه (۱۴) داده شده است.

ضریب اصطکاک جریان تک فازی مایع را می‌توان از رابطه

$$f_i = a R_e^b e_i + C \quad (24)$$

بدست آورد که در آن $a = 0.5$, $b = -0.32$, $C = 0.0056$

است. با توجه به اختلاف دمای دیواره و سیال ضریب اصطکاک بدست آمده به صورت زیر تصحیح می‌شود.

$$\frac{f}{f_{iso}} = (\mu_{wall}/\mu_{bulk})^{0.6} \quad (25)$$

که در آن μ_{wall} دیسکوژیته در دمای دیواره است. دمای دیواره را نیز می‌توان از رابطه زیر بدست آورد.

$$T_w = T_{bulk} + \frac{g''}{h} \quad (26)$$

در این رابطه $\frac{q'}{p_h} = q''$ و ضریب انتقال حرارت جابجایی، h از رابطه (Dettus - Boelter) بدست می‌آید.

$$h = 0.023 \frac{k_f}{D_h} Re_f^{0.8} pr_f^{0.4} \quad (27)$$

ضریب تصحیح اصطکاک در جریان دوفازی (ϕ) را با استفاده از مدل آرماند بدست می‌آوریم.

$$\phi = 1 \quad h \leq h_f$$

$$\phi = \frac{(1-x)^2}{(1-\alpha)^{1.42}} \quad 0.39 < (1-\alpha) \leq 1 \quad (28)$$

$$\phi = 0.478 \frac{(1-x)^2}{(1-\alpha)^{2.2}} \quad 0.1 < (1-\alpha) \leq 0.39$$

$$\phi = 1.73 \frac{(1-x)^2}{(1-\alpha)^{1.64}} \quad 0 < (1-\alpha) \leq 0.1$$

$$+ (m_i/A_i)^2 \frac{1}{g_c} \left[\frac{\partial v'_i}{\partial h} \frac{dh_i}{dz} + \frac{\partial v'_i}{\partial p} \frac{dp_i}{dz} \right] \quad (16)$$

در صورتی که N کanal در مجاورت کanal i باشد، معادله ممتنم در امتداد محور میله‌ها به صورت زیر در می‌آید.

$$- \left[1 + 1/g_c (m_i/A_i)^2 \frac{\partial v'_i}{\partial p} \right] \frac{dp_i}{dz} = 1/g_c (m_i/A_i)^2 \left[\frac{f_i \phi_i}{2 \rho_f D_{hi}} + \frac{\partial v'_i}{\partial h} \frac{dh_i}{dz} \right] + \rho_i \cos \theta + 1/g_c A_i \quad (17)$$

$$\text{که در آن } f_i w'_{ij} (u_i - u_j) + \frac{1}{g_c A_i} \sum_{j=1}^N w_{ijk}^* \quad (18)$$

$$k^* = \begin{cases} u_i(f_D - 2) & \text{if } w_{ij} > 0 \\ (f_D u_j - 2 u_i) & \text{if } w_{ij} < 0 \end{cases} \quad i = 1, 2, \dots, N \quad (18)$$

معادله ممتنم در امتداد عمود بر محورهای میله‌های سوت که معرف تغییرات ممتنم جریانهای عرضی است را می‌توان به صورت زیر نوشت:

$$P_i - p_j = c_{ij} w_{ij} \quad |w_{ij}| \quad (19)$$

که در آن c_{ij} ضریب افت است و از رابطه زیر بدست می‌آید.

$$C_{ij} = \frac{fl}{4 g_s s_{ij}^3 p^*} \quad (20)$$

در این رابطه S_{ij} فاصله فضای خالی بین دو میله سوت و ۱ معادل قطر میله است و p دانسیته جریان دوفازی است و برابر دانسیته سیال در کanal است که سیال از آن خارج می‌شود. اگر تعداد مروزنها بین کانالهای موجود در میدان جریان m باشد تعداد m معادله به شکل معادله (۱۹) می‌توان نوشت. معادلات (۲۰)، (۸)، (۱۷) و (۱۹) شامل $3N$ معادله (بنای جرم، ممتنم محوری و انرژی) و K معادله (محتم عرضی) می‌باشد. معادلات فوق بسته نبوده و تعداد معجهولات بیشتر از تعداد معلومات است. برای بستن معادلات لازم است روابط دیگری برای ضریب اصطکاک در جریان دوفازی، مدل کردن جریانهای متشوش عرضی، روابط بین خواص ترمودینامیکی سیال (جداول بخار)، تعیین کیت واقعی سیال دوفازی به معادلات فوق اضافه نمود. در اینجا به اختصار به تشریح این روابط پرداخته می‌شود.

ابتدا مدل بکار رفته در محاسبه جریان عرضی در اثر

$$T_B^+ = 5 p_f y_B^+ \quad 0 \leq y_B^+ \leq 5$$

$$T_B^+ = 5 \left[p_f + \ln(1 + p_f) \left(\frac{y_B^+}{5} - 1 \right) \right] \quad 5 \leq y_B^+ \leq 30$$

$$T_B^+ = 5 \left[p_f + \ln(1 + 5p_f) + 0.5 \ln\left(\frac{y_B^+}{30}\right) \right] \quad y_B^+ > 30 \quad (34)$$

که در آن T_B^+ دمای بدون بعد شده نوک حباب است و از رابطه زیر بدست می‌آید.

$$T_B^+ = \frac{C_{pf} \rho_f u^*}{q''} \Delta T_{SAT)d} \quad (35)$$

از طرفی براساس مدل لوی در محل جداشدن حباب از سطح داریم
 $q'' = h_{fo}(T_w - T_f)_d = h_{fo} [\Delta T_{SUB)d} - \Delta_{SAT)d}] \quad (36)$

و یا

$$\Delta T_{SUB)d} = q'' \left[\frac{1}{h_{fo}} - \frac{T_B^+}{C_{pf} \rho_f u^*} \right] \quad (37)$$

به این ترتیب می‌توان کیفیت واقعی (x') را با داشتن $\Delta T_{SUB)d}$ که از رابطه فوق بدست می‌آید حساب کرد.

اطلاعات و شرایط موزی

اطلاعات معلوم مسأله که برای حل معادلات حاکم لازم است به شرح زیر می‌باشد: هندسه مسأله شامل ابعاد و آرایش میله‌های سوخت، سطح مقطع کانالها، تغییرات طولی و محیطی فلاکس حرارتی میله‌های سوخت، ثابت‌های ترمودینامیکی بکار رفته در روابط تجربی، خواص ترمودینامیکی آب اشباع شامل μ_f ، μ_g ، v_f و v_g ، h_f ، h_g و D_h متوسط ورودی به هر کanal، دبی جرمی ورودی هر کanal، جریان عرضی انحرافی ورودی و فشار خروجی از انتهای کانالها.

مجهولات در معادلات که پس از حل معادلات بدست می‌آید عبارتند از فشار در هر کanal (z)، P_i ، انتالپی سیال در هر کanal h_i ، کیفیت سیال در هر کanal (z)، $X_i(z)$ ، شدت دبی جرمی هر کanal (z)، $G_i(z)$ ، دبی جرمی هر کanal (z)، $m_i(z)$ ، فلاکس حرارتی واردہ به هر کanal $\frac{q_i}{p_h}$ ، جریان عرضی انحرافی بین هر دو کanal مجاور w_{ij} .

که در آن α نسبت حجمی گاز است و از رابطه زیر بدست می‌آید.

$$\alpha = 0 \quad ; \quad h < h_f \quad (29)$$

$$\alpha = \frac{(0.833 + 0.167X') X V g}{(1-x)V_f + X V_g} \quad ; \quad h > h_f$$

ضریب کیفیت موضعی در تزدیکی میله‌های سوخت را با استفاده از مدل لوی می‌توان بدست آورد. برای این کار تغییرات واقعی کیفیت (X') را بحسب تابعی از طول محاسبه می‌کنیم. سپس با قرار دادن کیفیت واقعی به جای کیفیت ترمودینامیکی (X)، تغییرات حجمی گاز را در طول کanal بدست می‌آوریم. با استفاده از مدل لوی داریم:

$$x'(z) = x(z) - x(z)_d \exp\left(\frac{x(z)}{x(z)_d} - 1\right) \quad (30)$$

که در آن x_d کیفیت در نقطه جدا شده حبابهای بخار از سطح در ناحیه جوشش هسته‌ای است.

$$x(z)_d = - \frac{C_{pf} \Delta T_{SUB}}{h_{fg}} \quad (31)$$

و ΔT_{SUB} اختلاف دمای اشباع و دمای سیال در نقطه جدا شدن حباب است.

$$\Delta T_{SUB} = T_{SAT} - T_{fd} \quad (32)$$

$x(z)$ و ΔT_{SUB} بطور جداگانه محاسبه می‌شوند. برای این کار با استفاده از موازنۀ نیروهای وارد بر یک حباب در تزدیکی میله‌های سوخت و توزیع دمای سیال تک فازی اطراف دیواره ΔT_{SUB} بدست می‌آید. با فرض اینکه شتاب حباب نیز نیروی شناوری حباب ناچیز باشد، در حالت تعادل باید جمع نیروهای درک و کشش سطحی صفر باشد و به این ترتیب فاصله نوک حباب تا دیواره (y_B) که متناسب با شعاع حباب است از رابطه زیر بدست می‌آید.

$$y_B^+ = \frac{y_B u^* \rho_f}{\mu_f} = C \frac{(\sigma D_h \rho_f)^{1/2}}{\mu_f} \left[1 + c' \left(\frac{\rho g (\rho_f - \rho_g) D_h}{\tau_w} \right)^{1/2} \right] \quad (33)$$

$$f \tau_w = \frac{f(m/A)^2 V_f}{2} \quad u^* = \frac{\tau_w}{p_f}, \quad c' = 0.015 \quad (33)$$

ضریب اصطکاک در جریان تک فازی است و با فرض $\frac{E}{D} = 10^4$ از رابطه فینیگ بدست می‌آید. از طرفی دمای نوک حباب با استفاده از مدل لوی که بر مبنای فرض مساوی بودن و دمای اشباع مایع است و براساس توزیع سه مرحله‌ای درجه حرارت در جریان مشوش (مدل مارتینلی) به صورت زیر بیان می‌شود.

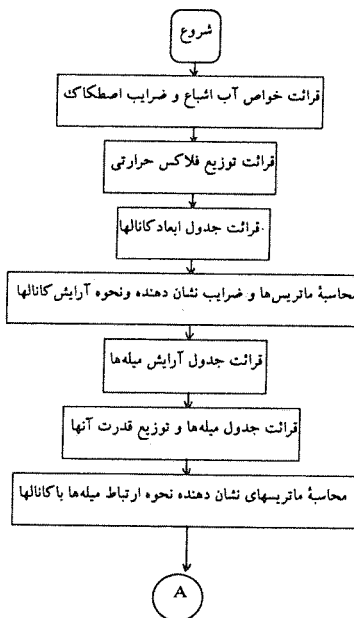
۸ - سپس خواص سیال را مطابق بند (۲) در $z + \Delta z$ حساب می‌کنیم و با استفاده از نتایج حاصل $w'_{ij}(z + \Delta z)$ را مطابق بند (۳) به دست می‌آوریم. حال $\frac{\partial h_i}{\partial z}$ را مطابق بند (۵) بدست می‌آوریم. و بالاخره مطابق بند (۶) $\frac{\partial p}{\partial z}$ را بدون احتساب جریانهای عرضی انحرافی حساب می‌کنیم. سپس با استفاده از سیستم معادلات (۱۹) جریانهای عرضی انحرافی را بدست می‌آوریم. سیستم معادلات (۱۹) غیرخطی بوده و آنها را به صورت خطی حل می‌کنیم. به این ترتیب که هر بار مقادیر $|w_{ij}|$ را با استفاده از مقادیر قبلی دانسته فرضی می‌کنیم. حال $\frac{dm_i}{dz}$ را از $\frac{dh_i}{dz}$ بدست می‌آوریم. و مقادیر جدید $(z + \Delta z)$ را از رابطه (۸) بدست می‌آوریم.

از روش اویلر توسعه یافته، رابطه (۳۸)، مقادیر جدید مقادیر $m_i(z + \Delta z)$ و $h_i(z + \Delta z)$ را بدست می‌آوریم. اختلاف مقادیر $h_i(z + \Delta z)$ و نیز $m_i(z + \Delta z)$ بدست آمده در دو مرحله آخر را بدست آورده اگر از حد مورد نظر بیشتر بود بند ۸ را تکرار می‌کنیم. در نهایت $\frac{\partial P_i}{\partial z}$ را با استفاده از معادله (۷) بدست می‌آوریم و از آنجا $P_i(z + \Delta z)$ را محاسبه می‌نماییم.

۱۰ - مقادیر حاصل از بندهای فوق را که در مقطع $(z + \Delta z)$ بدست آمد، به عنوان شرط اولیه برای محاسبات بعدی در نظر می‌گیریم و بندهای ۷ به بعد را تکرار می‌نماییم تا آنجاکه $(z + \Delta z)$ برابر طول کانالها شود.

فلوچارت برنامه کامپیوتری

در زیر فلوچارت برنامه کامپیوتری ارائه شده است.



روش حل عددی

معادلات پیوستگی (۴)، انرژی (۸) و ممنتوم محوری (۱۷) تشکیل $3N$ معادله دیفرانسیلی مرتبه اول خطی را می‌دهند. معادله (۱۹) معادله K معادله جبری است. N تعداد کانالها و K تعداد ارتباط بین کانالها را نشان می‌دهد. این معادلات همراه با روابط تجربی مذکور در قسمت قبل حل می‌شوند. معادلات بقاء از نوع مقدار اولیه است و می‌توان آنها را از روش قدم به قدم حل کرد. انتالپی ورودی، جریان عرضی انحرافی در ورود به کانالها شرایط اولیه هستند. هر بار معادلات دیفرانسیلی را با استفاده از روش اویلر توسعه یافته در فاصله dz حل می‌کنیم. معادله (۱۹) شامل K معادله جبری است که باید بطور همزمان حل شوند. این معادلات با استفاده از روش گووس - جردن حل می‌شوند. در حل عددی قدمهای زیر برداشته می‌شود:

۱ - طول کانال به فواصل مساوی Δz تقسیم می‌شود.

۲ - در مقطع $(z = 0)$ مقادیر دی جرمی هر کانال m_i ، انتالپی w_{ij} هر کانال h_i و جریان عرضی انحرافی بین کانالهای مجاور W_{ij} معلوم است. همچنین با توجه به اینکه افت فشار در طول میله ها ناچیز است خواص ترمودینامیکی سیال در هر مرحله را بر مبنای فشار خروجی حساب می‌کنیم. برای این کار با استفاده از جداول خواص آب و بخار و داشتن فشار و انتالپی در مقطع z ، خواص ترمودینامیکی زیر را بدست می‌آوریم

$$V_i, T_i, S_i, \alpha_i, \mu f_i, x_i, \frac{\partial v_i}{\partial p})_h, \frac{\partial v'_i}{\partial h})_p, \phi_i, u_i$$

۳ - با داشتن $C_{ij}(z)$ ، $w'_{ij}(z)$ ، $S_i(z)$ و $m_i(z)$ از روابط (۲۰) و (۲۱) بدست می‌آید.

۴ - از رابطه (۴)، $\frac{dm_i}{dz}$ محاسبه می‌شود.

۵ - با محاسبه فلاکس حرارتی خروجی از هر میله (از اطلاعات

ورودی است) و محاسبه (z) از رابطه (۸) بدست می‌آید.

۶ - با استفاده از معادله ممنتوم محوری (۱۷)، (z) بددست می‌آید.

۷ - روش توسعه یافته اویلر به شرح زیر است:

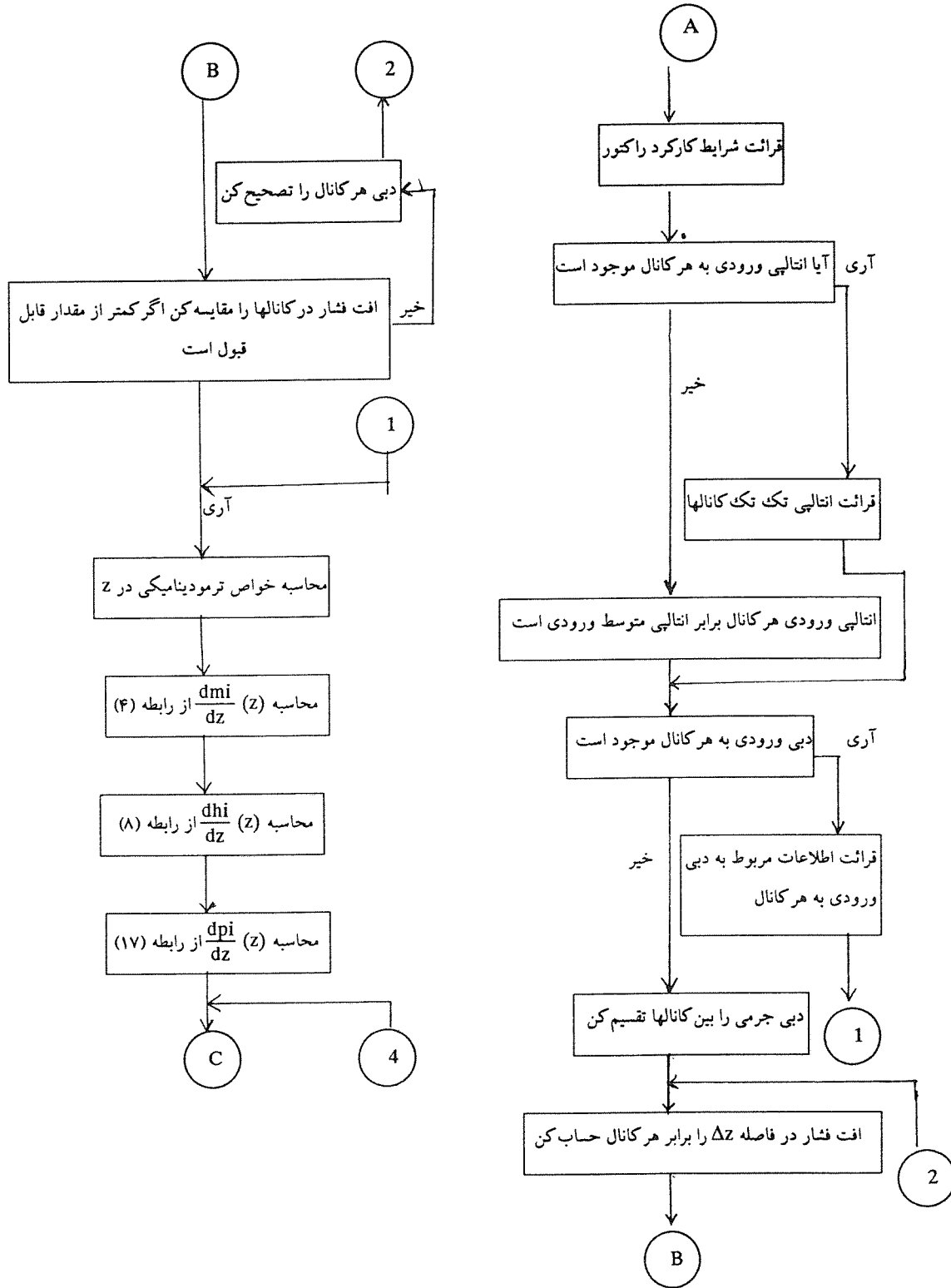
$$\varphi(zt\Delta t) = \varphi(z) + \frac{\Delta z}{z} \left[\frac{\partial \varphi(z)}{\partial z} + \frac{\partial \varphi}{\partial z}(z + \Delta z) \right] \quad (۳۸)$$

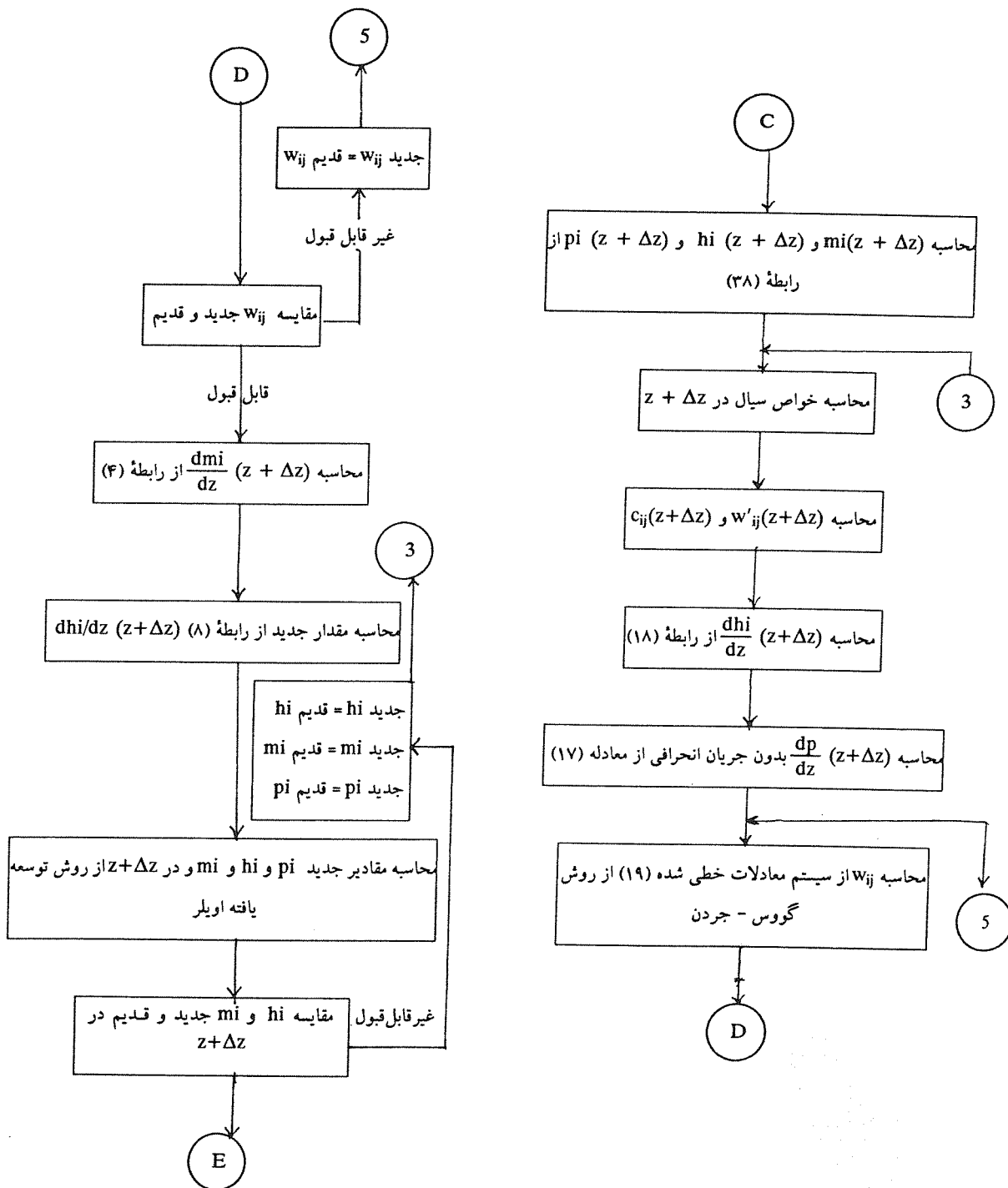
φ می‌تواند m_i ، h_i و یا p_i باشد. با استفاده از روش اویلر مقادیر

در رابطه فوق $(z + \Delta z)$ $m_i(z + \Delta z)$ ، $h_i(z + \Delta z)$ و $p_i(z + \Delta z)$ مجهول است و برای حل مسئله

لازم است از روش سعی و خطأ مسئله را حل کنیم. برای این کار

ابتدا $\frac{\partial \varphi}{\partial z}(z + \Delta z)$ را برابر $\frac{\partial \varphi}{\partial z}(z)$ فرض می‌کنیم و مقادیر h_i ، m_i را در $(z + \Delta z)$ محاسبه می‌نماییم.





۳ - مقادیر ثابت شامل پارامتر اختلاط $\beta = 0.04$ ، مقاومت جریان فرضی انحرافی (fL) 0.001 ft ، ضریب تصحیح ممتم جریان عرضی (f_D) 1.0 و ضریب تصحیح ممتم جریان عرضی اغتشاشات (f_T) 1.0 .

برای سادگی توزیع فلوی حرارتی محوری میله‌ها را یکنواخت فرض کرده، همچنین توزیع قدرت حرارتی نسبی میله‌ها یکسان در نظر گرفته شده است ($f_R = 1$ برای همه میله‌ها). جهت مقایسه اثر مدل‌های مختلف توصیه شده در این گزارش، سواله در چهار حالت مختلف حل و نتایج حاصل با یکدیگر مقایسه شده است. فرضیات مترتب به هر یک از چهار حالت مذکور در زیر آورده شده است.

حالت اول - در این حالت با توجه به سه فرض زیر برنامه کامپیوتری اجرا شده است:

۱ - از انتقال حرارت تحت اشباع صرف نظر شده است.

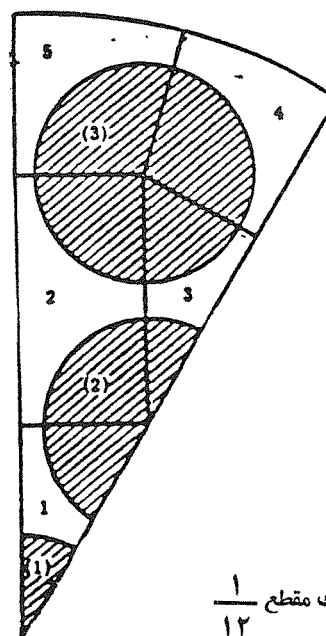
۲ - برای تعیین ضرایب α و φ از مدل آرماند استفاده شده است.

۳ - ضریب اصطکاکی تک فازی برای کالیه کانالها یکسان فرض شده است و اثر دمای دیواره در محاسبات منظور نشده است.

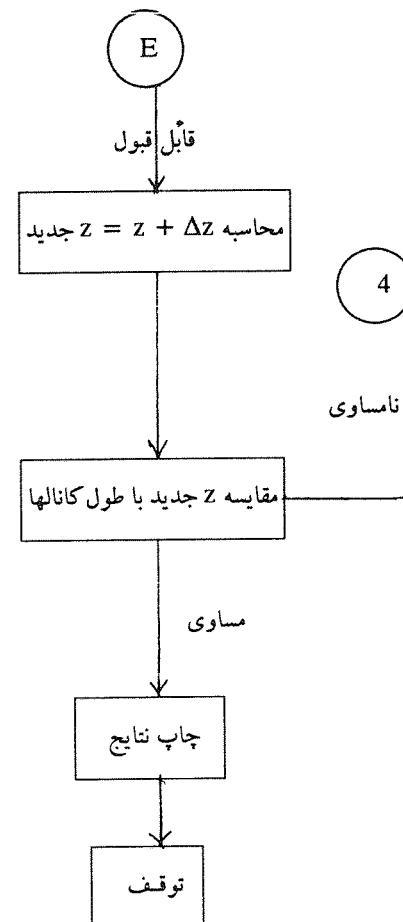
حالت دوم - انتقال حرارت تحت اشباع با استفاده از مدل لوی در محاسبات منظور شده است. سایر فرضیات حالت اول به قوت خود باقی است.

حالت سوم - از مدل دوفازی همگن برای محاسبه α و φ استفاده شده است. سایر فرضیات حالت اول به قوت خود باقی است.

حالت چهارم - هیچیکی از فرضیات حالت اول اعمال نشده است. به عبارت دیگر انتقال حرارت تحت اشباع با استفاده از



شکل ۶ - یک مقطع $\frac{1}{12}$



نتایج عددی

حال به نتایج حاصل از بررسی یک مسئله ساده به عنوان نمونه پرداخته می‌شود. در این مسئله یک مجموعه 19 میله‌ای سوخت در نظر گرفته می‌شود، به علت تقارن $\frac{1}{19}$ این مجموعه مورد بررسی قرار می‌گیرد. شکل (۶) نشان دهنده $\frac{1}{19}$ مقطع قلب راکتور است. در این شکل مقطع سه میله سوخت، پنج کanal جریان و پنج مرز مشترک بین کانالها نشان داده شده است. اطلاعات ورودی مسئله به شرح زیر انتخاب شده‌اند:

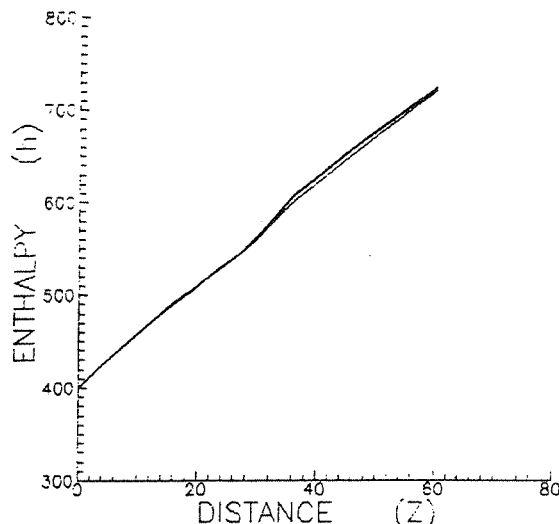
۱ - بعد هندسی شامل طول کانال 60 in ، قطر میله‌ها 0.563 in فضای خالی بین میله‌ها 0.08 in و فاصله میله مجاور دیواره تا دیواره 0.08 in

۲ - شرایط کارکرد شامل فلاکس حرارتی $0.4 \times 10^6 \frac{\text{Btu}}{\text{hrft}^2}$ ، شدت دبی جرمی متوسط $16 \times 10^6 \text{ m/hrft}^2$ ، فشار سیستم 400 psi و انتالپی ورودی 1000 Btu/lbm

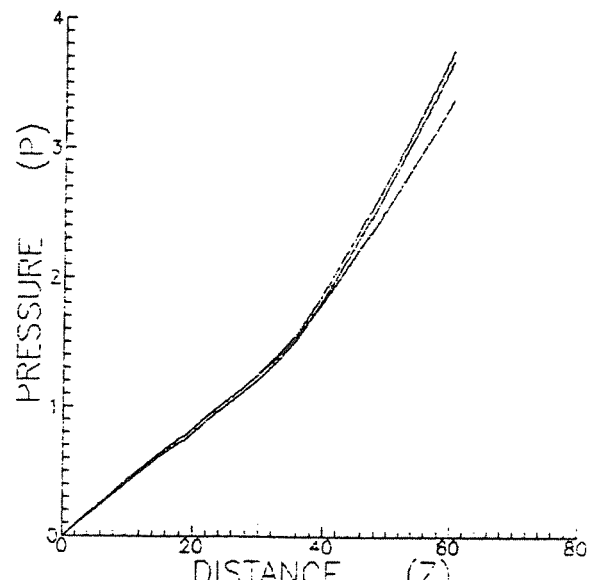
با مقایسه درصد خطای حالات ۱ و ۳ می‌توان نتیجه گرفت که مدل دو فازی برای محاسبه α و φ خطای افت فشار را به مقدار قابل توجهی کاهش میدهد. بطور کلی مدل‌های سه گانه استفاده جملاً می‌تواند بیش از ۱۱ درصد از خطای محاسبات بکاهد.

شکل ۸ تغییرات انتالپی سیال و شکل ۹ تغییرات کیفیت سیال در طول کانال ۱ را برای چهار حالت مختلف نمایش می‌دهد. همانطوریکه مشخص است انتالپی در طول کانال تقریباً بطور خطی افزایش می‌یابد. علت این امر این است که فلوی حرارتی در

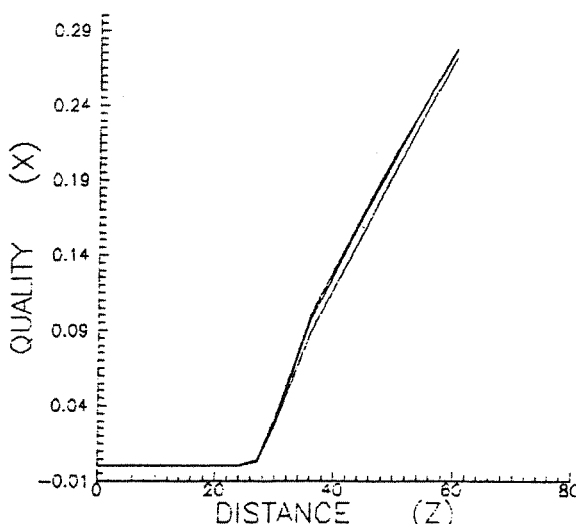
مدل لوی در محاسبات منظور شده است، از مدل دو فازی همگن برای محاسبه α و φ استفاده گردیده است و ضریب اصطکاک تک فازی برحسب شکل کانال بطور جداگانه حساب شده است. در اینجا نتایج حاصل از اجرای چهار حالت فوق را در مورد سه پارامتر افت فشار در طول کانال، تغییرات انتالپی سیال در طول کانال و تغییرات کیفیت در طول کانال به بحث می‌گذاریم. شکل ۷ افت فشار در طول کانال شماره ۱ برای چهار حالت نشان می‌دهد.



شکل ۸ - تغییرات انتالپی در طول کانال ۱



شکل ۷ - افت فشار در طول کانال شماره ۱



شکل ۹ - تغییرات کیفیت در طول کانال ۱

با توجه به اینکه سیال در ابتدای کانال تک فازی است چهار حالت فوق در Z های کوچک نتایج مشابهی را بدست می‌دهند. با افزایش Z تولید بخار در جریان زیاد شده و اختلافات ظاهر می‌گردد. جدول شماره ۱) افت فشارهای کلی در کانال ۱ در چهار حالت را مقایسه کرده و درصد اختلاف را نسبت به حالت چهارم که کاملترین حالت است نشان می‌دهد.

درصد اختلاف	اختلاف فشار کل در کانال ۱	حالت
۱۱/۱	۳/۲۵۸	۱
۷/۹	۳/۳۷۰	۲
۲	۳/۷۴۴	۳
۰	۳/۶۶	۴

جدول شماره ۱ - افت فشار کل در کانال ۱ در چهار حالت مختلف و مقایسه آنها

شده است. این فرض سبب می شود که معادلات جریان بسیار ساده شده و شبیه جریان بعدی حل شوند. البته جریانهای عرضی ناشی از اختلاف فشار بین هر کاتال و زوائد موجود در مسیر جریان و نیز ناشی از اختشاشات جریان بطور جداگانه مدل شده و اثرات آنها در حل مسئله منظور شده است.

جوابهای حاصل از حل مسئله به روشهای فوق جوابهای بسیار معقولی است زیرا کلیه پارامترهای مهم در جریان سیال از قبیل جریانهای عرضی، اثرات دو فازی بودن جریان در ضریب اصطکاک، خواص سیال و انتقال حرارت در حل مسئله منظور شده است و نتایج حاصل را می توان به عنوان تقریب مناسب برای طراحی اولیه قلب راکتور بکار برد. قدم بعدی برای بهبود بخشیدن به روش فوق حذف مدلهاهی استفاده شده در جریانهای عرضی و استفاده از معادلات کامل ممتنم در جهات عرضی است. البته این تغییر موجب پیچیده شدن شدید مسئله شده و نیاز به حل سیستم معادلات پارهای غیرخطی جریان دارد. پیشنهاد دیگر برای بهبود روش پیشنهادی کار بر روی مدلهاهی ارائه شده و تکمیل این مدلهاست.

طول میله ها را خطی فرض کردیم (در حالت واقعی فلوی حرارتی شکلی شبیه سهمی دارد). مجددآ متذکر می شود اختلاف نتایج در چهار حالت عددتاً در Z های بزرگ یعنی وقتی جریان دوفازی می شود نمایان می گردد.

نتیجه گیری

در این مقاله جریان سیال در قلب یک راکتور هسته‌ای از طریق حل عددی جریان معادلات جریان و به کمک کامپیوتر شبیه سازی شد. با توجه به اینکه جریان در قلب راکتور یک جریان دوفازی و مغشوش، است حل جریان از طریق مدل کردن پروسه های انتقال حرارت دوفازی، اصطکاک بین سیال دوفازی و دیوارهای انجام پذیرفت. مدلهاهی مورد استفاده مدلهاهی شناخته شده و قابل قبولی می باشد. یک فرض عددی دیگر حل جریان در مدل کردن جریانهای عرضی است. در این مقاله جریان طولی در استداد میله های موقت در هر کاتال یکنواخت فرض شده است ولی این جریان از یک کاتال تا کاتال دیگر متفاوت است. به عبارت دیگر مقطع جریان به بخش هایی تقسیم شده است و هر بخش به صورت یکنواخت در نظر گرفته

منابع :

1. ROW, D.S; *Cross - Flow Mixing Between Parallel Flow Channals During Boiling (COBRA-I)*, 1st Ed., Battel Memorial Institute, 1976.
2. ROW, D.S; *A Digital Computer Program for Thermal - Hydraulic Subchannels Analysis of Rod Bundle Nuclear Fuel Elements (COBRA-II)*, 1st Ed., 1970.
- 3 - FERZIGER, JOEL H; *Numerical Methods for Engineering Application*, 1st Ed., John Wiley & Sons, New York, 1981.
- 4 - COLLER , JOHN G; *Convective Boiling and Condensation*, 1st. Ed., McGraw - Hill Book Co., London, 1972.
- 5 - EL - WAKIL, M.M; *Nuclear Heat Transport*, 1st. Ed., International Text Book Co., New York, 1971.
- 6 - EL - WAKIL, M.M; *Nuclear Energy Conversion*, 1st.Ed., International Text Book Co., New York, 1971.
- 7 - LAMARSH, JOHN R; *Introduction to Nuclear Engineering*, 1st. Ed., McGraw - Hill Book Co., New York, 1974.
- 8 - TONG, L. S.& WELSMAN, J; *Thermal Analysis of Pressurized Water Reactors*, 1st . Ed., 1970.
- ۹ - اصغر اسماعیلی، شبیه سازی کامپیوتری پروسه های انتقال در قلب یک راکتور هسته‌ای، پایان نامه ترکارشناسی ارشد، دانشکده مکانیک، دانشگاه صنعتی اصفهان، ۱۳۶۷